

### III—23 矩形水路の側壁効果に関する実験的研究

山口大学工学部 正員 齋藤 隆  
西日本工業大学 正員 ○赤司 信義

#### 1. まえがき

曲水路流れにおける水路側壁の効果は極めて特異的であるが、実用的には十分満足される事が知られている。更に側壁効果に関する研究は、Henlezan, Powell, Einstein, 足立らにより流水断面積を底面から側壁までの影響を受ける領域に分離する事で行われている。厳密には三次元乱流として流れ解析を必要とするものであるが、本研究では水深方向ならびに水路幅方向の流速分布を測定し、実験的に断面分割を試みると共に、流速分布ならびに流れの場におけるせん断応力に因して考慮をしようとしたものである。

#### 2. 実験装置ならびに実験方法

実験水路は幅40cm、深さ30cm、長さ10mの水路で、側壁は強化ガラス、底壁は滑面としてベンキ塗り、粗面としては50粒粒径が0.43mmの砂粒を均一にばらまいてある。流速の測定はポインティングゲージ下部にとりつけた外径2mm、内径1.6mmのステンレス管にて作製したピトー管をマノメーターへ接続した。測定位置は水路入口より5mの地点で行った。実験条件は水路幅水深比の値が3から15の間とし、勾配1/200, 1/100, 1/50の3種、流量を6.67l/s, 13.3l/sの2種を行った。

#### 3. 実験結果ならびにその検討

開水路における隅角部を原点として水路幅方向にy軸を、水深方向にx軸をとった。Fig-1, 2, 3には勾配 $I = \frac{1}{200}$ 、流量 $Q = 6.67\text{l/s}$ の下での実験道を示している。Fig-1は $y$ が20, 10, 5, 1.5, 0.5cmの位置における水深方向の流速分布を示したもので、 $y = 20, 10\text{cm}$ に関しては水面近傍数則が近似されると思われるが、 $y = 5, 1.5, 0.5\text{cm}$ つまり側壁に近づく程対数則の成立する範囲が小さくなる。この現象は水深方向の流速分布に側壁の影響が及んだものと考えられる。Fig-2は前図と同様にして水路幅方向の流速分布を示したものである。この図に示してある①, ②, ③の領域について説明を加える。①の領域は

対数分布が近似され、①の領域は側壁の影響と底面の影響の相互作用による為か又隅角附近に生じる二次流の存在の為流速分布がゆがめられたと思われる。そして②の領域は、側壁の影響が完全に消失し、流速分布はばらつきはあるものの一定と考えられる。Fig-3はFig-1, 2をもとにして等流速線を示したもので水路断面の偏倚付近と除くと平均的には壁面に平行

Fig. 1 底面からの流速分布

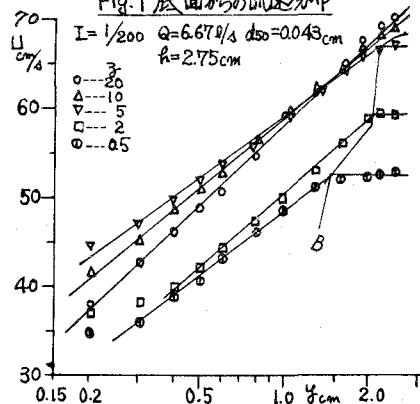
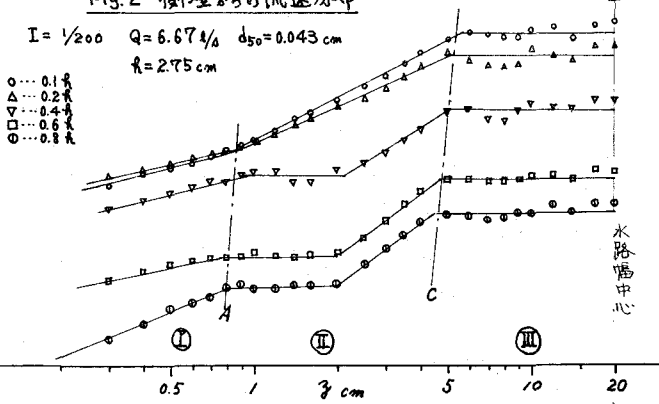


Fig. 2 側壁からの流速分布



している。Fig-4は流水断面分割を3ケースについて示したものである。二次元乱流の組み合せとして、單一分割線で二つの領域、つまり側壁領域(側壁より水路幅方向の流速分布が対数則で近似される部分と流速一定の部分において対数則の成立する領域)と底面領域(底面より水深方向の流速分布が、側壁以外において対数則が成立する領域)とに分割される事を期待したのであるが、Fig-2における①の領域の説明が困難であるので下記の様に分割を行った。Fig-1,2に示してあるA,B,Cといふ分割線を示した。A線は側壁より対数則で近似される範囲を、そしてC線は底面から対数則で近似される範囲を、C線は側壁の影響が完全に消失底面の影響のみと思われる範囲を示したものである。

流速の連続という条件で流水断面を二分割(その中の断面で対数則が成立

するすれば、A,B線の平均で表わされる。しかし開水路乱流場におけるせん断応力については若干説明し難い。B,C線には含まれる領域は流れの場において支配的でせん断応力の生ずる面と(Fig-5に見られる様に)X面からY-Z面に変えていく。すなはち応力緩和といった領域が存在すると考えられる。

#### 応力緩和領域について

開水路流れにおいてせん断応力を論ずる為にFig-5をもとにして述べていい。乱流流れにおけるせん断応力はほとんど Reynolds応力で、 $P_{randt}$ の混合距離理論によると  $\tau = -\rho \bar{u} \bar{v} = \rho l^2 \frac{dy}{dx} \frac{dy}{dx}$  として表わされ、 $l = K y$  も  $= K y \sqrt{1 - \frac{y}{y_0}}$  と仮定した時、対数則では  $y_0$  の下で求められている。このことより考えるに側壁領域では  $\tau_{xy} = \frac{\partial p}{\partial x} - \rho \bar{u} \bar{v}$   $= -\rho \bar{u} \bar{v} = \tau_{yz}$  が、底面領域では  $\tau_{xz} = \frac{\partial p}{\partial z} - \rho \bar{u} \bar{v}$   $= \tau_{xy}$  が成立する事になる。

$\tau_{xy}$  線を考えてみると側壁より  $b$  線迄一定となり応力緩和領域において C 線に漸近して水表面に上るものと考えられる。C 線付近では  $\tau_{xy} = 0$  と思われる。さらに中心部から隅角に對して運動量を輸送し、その結果隅角附近においてある程度高い流速を生じると、こう二次流の存在を考慮してみる。二次流の概略図をFig-5に示してあるが、側壁面より水路表面ならびに水路中心方向に運動量を輸送する事より  $\bar{u} \bar{w}$  は顯著となる。又隅角部に向かう二次流は水路中心部分の運動量を隅角部に輸送し、流れを一様化しようとするので  $\bar{u} \bar{w}$  を抑え器を一定にしようとすると思われる。さらに底面から水路中心方向に向かう二次流はもう一度  $\bar{u} \bar{w}$  を促進させると思われる。その結果Fig-2に見られる様な流速分布になると考えられる。

4. あとがき 開水路流水断面分割に関して二次元乱流の組み合せとして取り扱うとすれば、Fig-2における正の領域の解説が困難な事より、流れの場のせん断応力に關して理解を得るには応力緩和といった領域もしくは二次流の存在について考慮する必要を認めたものである。Reynolds応力等の説明に不十分性を残すので、今後一層の検討を進め、応力緩和といった現象をより明らかにしていきたい。

[参考文献] 1). 足立昭平; 長方形断面水路の側壁効果に関する研究; 土木学会論文集第41号 1). G.H. Kaugan: Laws of Turbulent Flow In Open Channel; J.R.N.B.S. Vol.21 1). H. Schlichting: Boundary Layer Theory; McGraw-Hill Book Company